

作业八 延时环节

电 02 肖锦松 2020010563

实验任务

1. 延时环节：同步机的端口电压 V_t ——只考虑 AVR



(1) 采用一阶惯性环节来建模滞后效应

①试写出从 u_{ref} 到 V_t 的开环传递函数（取 Gain_AVR=100, Timedelay=1）;

$$G'_{0V_t}(s) = \frac{0.07552s^2 + 0.00151s + 0.009872}{s^3 + 0.572s^2 + 0.1879s + 0.04846}$$

延时环节一阶惯性环节可以写为： $G(s) = e^{-\tau_0 s} = \frac{1}{\tau_0 s + 1}$

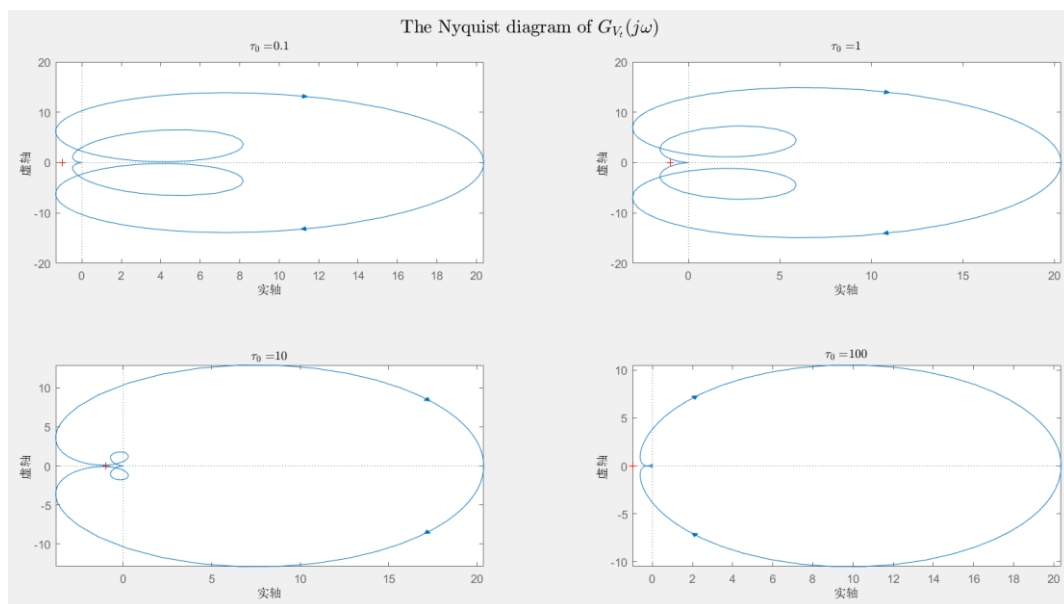
考虑 AVR 增益与滞后环节：

$$G_0(s) = \frac{100}{s + 1}$$

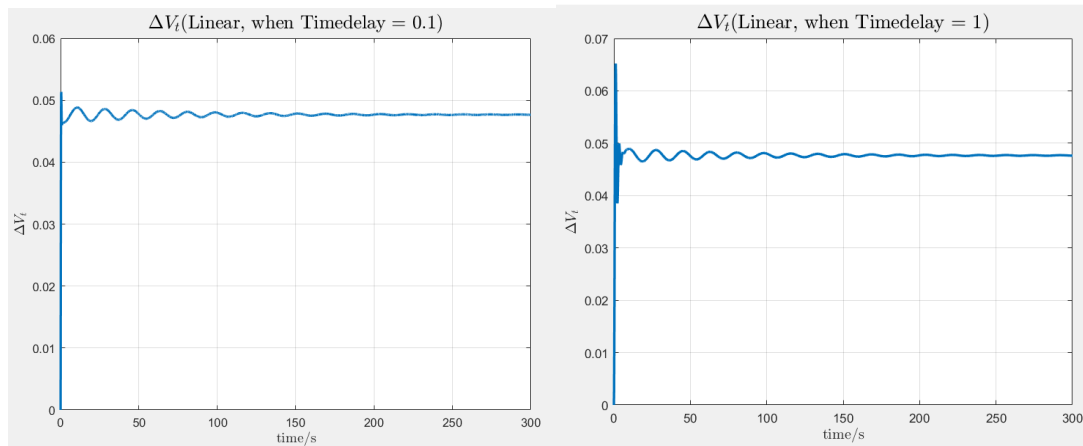
从 u_{ref} 到 V_t 的开环传递函数：

$$G_{V_t}(s) = \frac{100}{s + 1} \cdot \frac{0.07552s^2 + 0.00151s + 0.009872}{s^3 + 0.572s^2 + 0.1879s + 0.04846}$$

②试分析闭环系统的稳定性（取 Gain_AVR=100, Timedelay = 0.1, 1, 10, 100），并通过仿真进行验证（Timedelay = 0.1, 1 的情况，线性模型即可）



先通过画 Nyquist 图的方式判断闭环系统的稳定性，可以发现四种情况下，Nyquist 图均不包围 $(-1, j0)$ ，因此闭环系统均为稳定。



对前两种情况的线性模型进行时域仿真，在平衡点处给予一个 0.05 的阶跃扰动，观察输出 V_t 波形变化。可以发现，Timedelay=0.1, 1，闭环系统均稳定。

③试分析，在 Timedelay=100 时，闭环系统能保持稳定的最大 Gain_AVR 是多少？通过仿真进行验证（线性模型即可）。

$$G(s) = \frac{K}{100s + 1} \cdot \frac{0.07552s^2 + 0.00151s + 0.009872}{s^3 + 0.572s^2 + 0.1879s + 0.04846}$$

先采用 Routh 表进行理论分析，如下：

特征方程：

$$100s^4 + 58.2s^3 + (19.36 + 0.07552K)s^2 + (5.034 + 0.00151K)s + 0.04846 + 0.009872K = 0$$

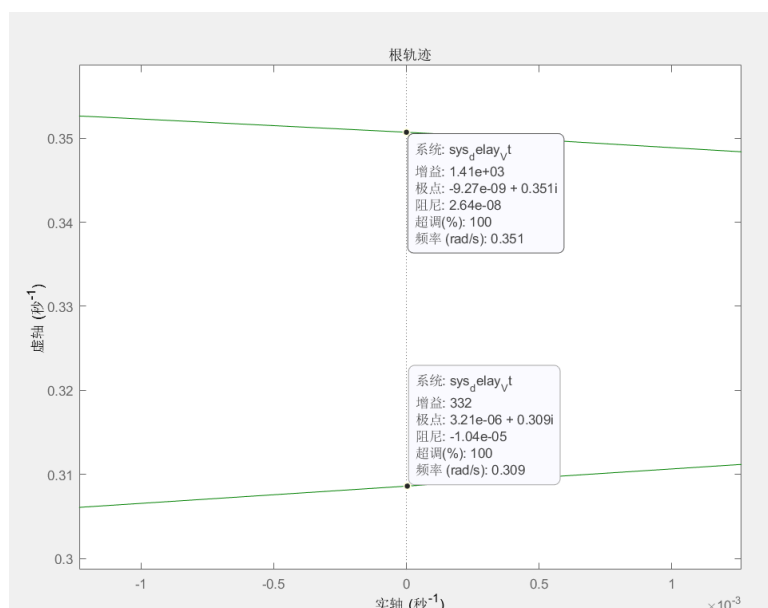
Routh 表：

s^4	100	$19.36 + 0.07552K$	$0.04846 + 0.009872K$
s^3	58.2	$5.034 + 0.00151K$	0
s^2	$10.7127 + 0.0729K$	$0.04846 + 0.009872K$	0
s^1	$\frac{51.11 - 0.1914K + 0.00011K^2}{10.7127 + 0.0729K}$	0	0
s^0	$0.04846 + 0.009872K$	0	0

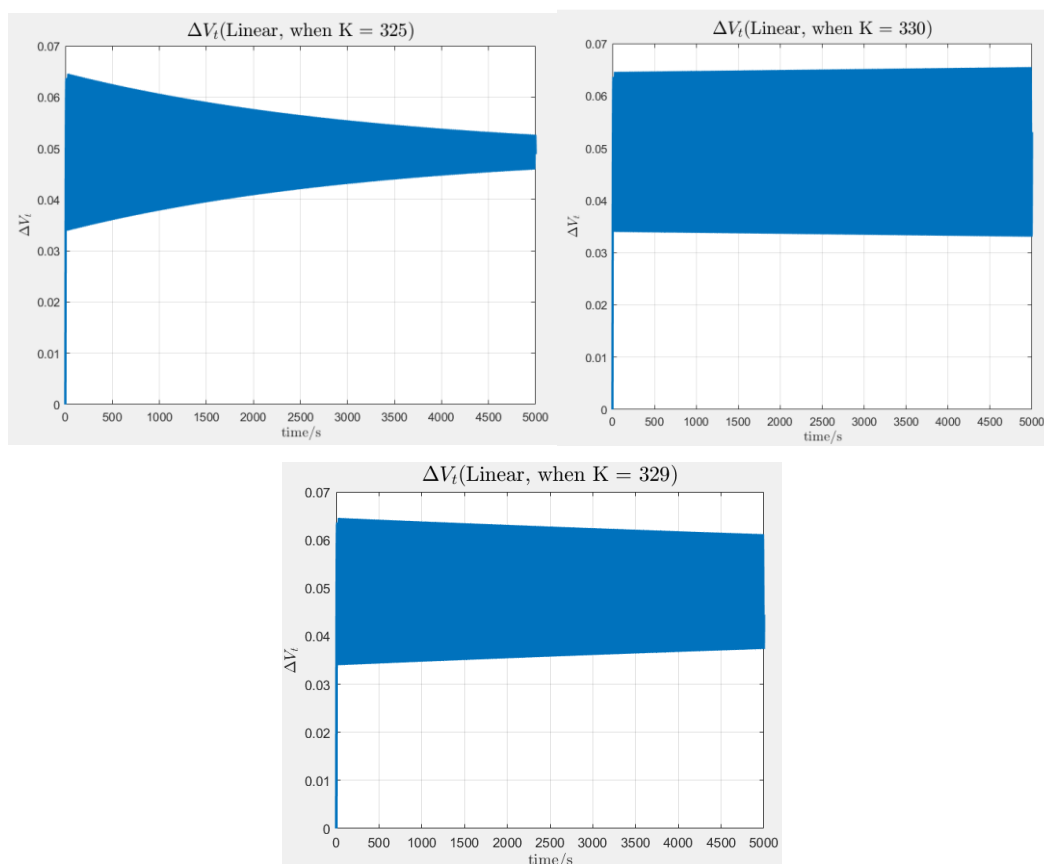
令 Routh 表第一列各项元素均为正，解得：

$$K < 329.38 \text{ or } K > 1410.61$$

还可以利用根轨迹：



可以知道在 $K < 332$ 时，闭环系统稳定。



通过对线性模型进行时域仿真：当 $K = 325$ 时，闭环系统稳定，当 $K = 330$ 时，闭环系统不稳定。因此闭环系统能保持稳定的最大 Gain_AVR 大约是 329。

(2) 采用纯延迟环节来建模滞后效应，

①试写出从 u_{ref} 到 V_t 的开环传递函数 (Gain_AVR=100, Timedelay=1)；

纯延时环节可以写为: $G(s) = e^{-\tau_0 s}$

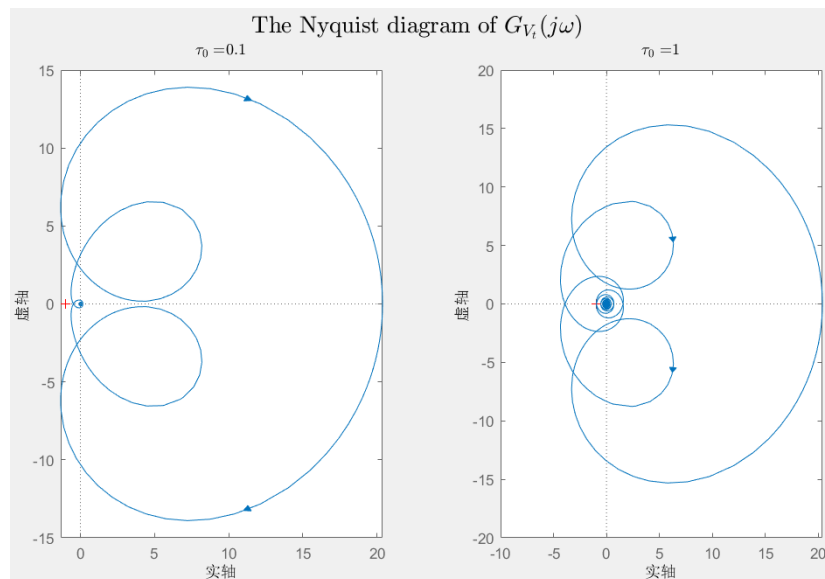
考虑 AVR 增益与滞后环节:

$$G_0(s) = 100e^{-s}$$

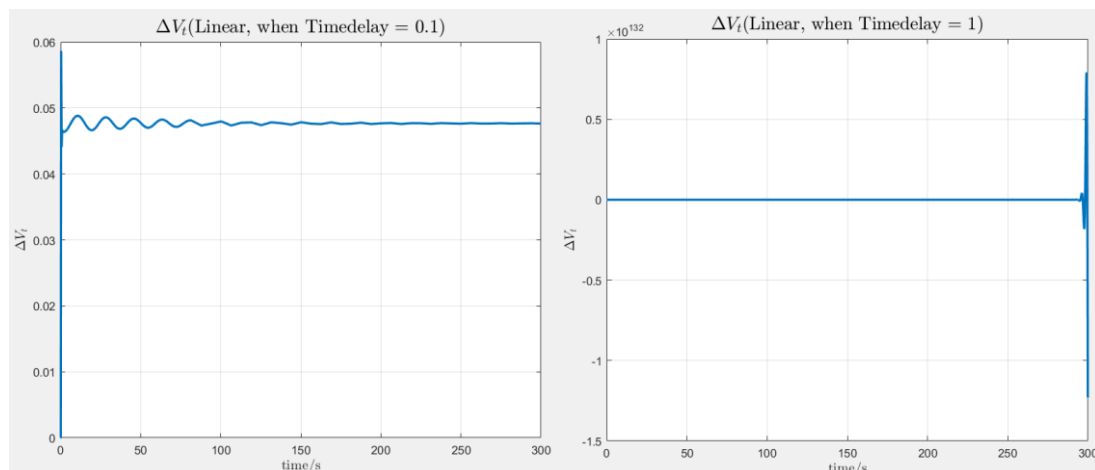
从 u_{ref} 到 V_t 的开环传递函数:

$$G_{V_t}(s) = 100e^{-s} \cdot \frac{0.07552s^2 + 0.00151s + 0.009872}{s^3 + 0.572s^2 + 0.1879s + 0.04846}$$

②试分析闭环系统的稳定性（取 Gain_AVR=100, Timedelay = 0.1, 1），并通过仿真进行验证（线性模型即可）

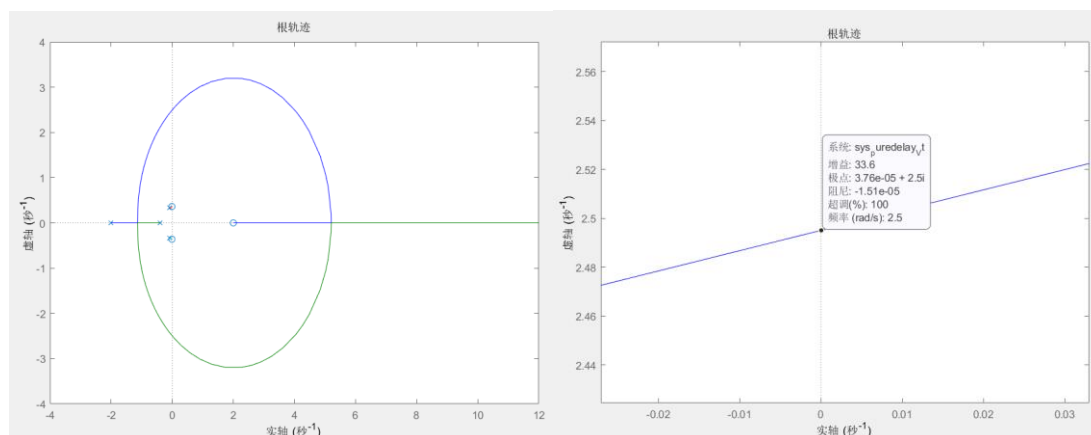


先通过画 Nyquist 图的方式判断闭环系统的稳定性，可以发现 Timedelay=0.1 时，Nyquist 图不包围 $(-1, j0)$ ，因此闭环系统均为稳定；而 Timedelay=1 时，Nyquist 图顺时针包围 $(-1, j0)$ 两圈，因此闭环系统不稳定。

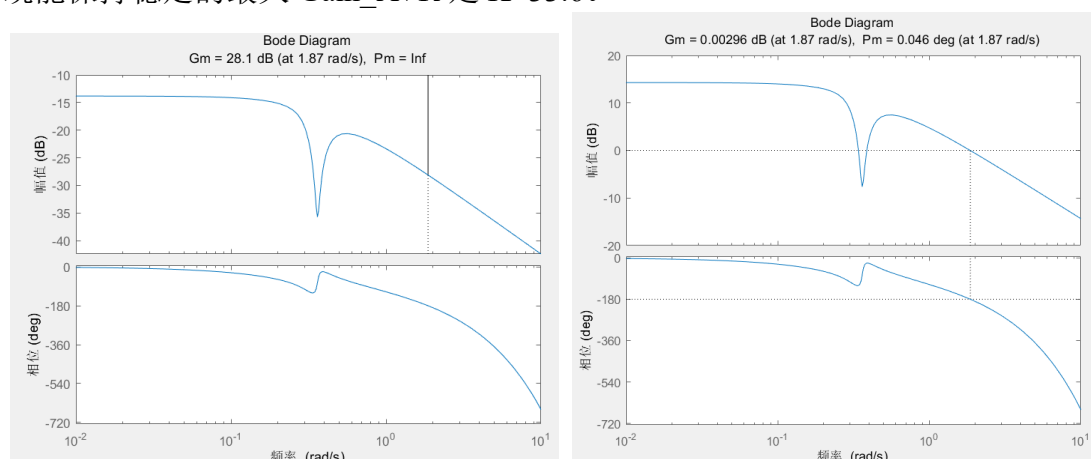


对前两种情况的线性模型进行时域仿真，在平衡点处给予一个 0.05 的阶跃扰动，观察输出 V_t 波形变化。可以发现，Timedelay=0.1，闭环系统稳定；Timedelay=1，闭环系统不稳定。结论与 Nyquist 图分析结果相同。

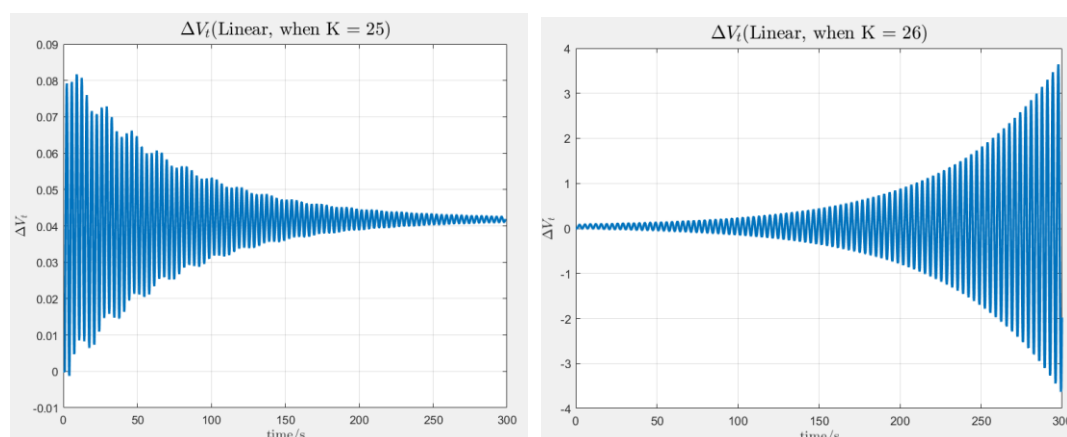
③试分析，在 Timedelay=1 时，闭环系统能保持稳定的最大 Gain_AVR 是多少？通过仿真进行验证（线性模型即可）



采用 Pade 逼近，对纯延时环节进行线性化，画出根轨迹，可以知道闭环系统能保持稳定的最大 Gain_AVR 是 $K=33.6$ 。



$K=1$ 时，幅值裕度为 28.1dB，可以计算出最大 Gain_AVR 是 $K=25.46$ ；再利用 $K=25.46$ 画出 Bode 图，可以发现此时幅值裕度为 0.00296dB，处于临界稳定状态。



通过对线性模型进行时域仿真：当 $K=25$ 时，闭环系统稳定，当 $K=26$ 时，闭环系统不稳定。因此闭环系统能保持稳定的最大 Gain_AVR 大约是 25。由此可知，对纯延时环节采用 Pade 逼近，再用根轨迹法求出 Gain_AVR 会使得结果不准确；直接采用纯延时环节画 Bode 图较为准确。

2.未知扰动:

以 u_{ref} 为输入， ω 为输出，对于只有 AVR 控制的闭环系统（Gain_AVR=3.3，无滞后），和有 AVR+PSS 控制的闭环系统（Gain_AVR=100，无滞后，PSS 为作业六中获得），分别在有以上三种偏差的情况下分析系统的稳定性？（无需验证）

以 u_{ref} 为输入， ω 为输出的传递函数为：

$$G'_{0\omega}(s) = \frac{-0.03089 s}{s^3 + 0.572 s^2 + 0.1879 s + 0.04846}$$

对于只有 AVR 控制的闭环系统，考虑Gain_AVR = 3.3，无滞后，得到：

$$G'_{1\omega}(s) = \frac{-0.1019 s}{s^3 + 0.572 s^2 + 0.1879 s + 0.04846}$$

鉴于不考虑，仅需考虑 $K_{AVR}G'_{0V_t}(s)$ ，即

$$G'_{K0V_t}(s) = 3.3 \cdot \frac{0.07552 s^2 + 0.00151 s + 0.009872}{s^3 + 0.572 s^2 + 0.1879 s + 0.04846}$$

对于有 AVR+PSS 控制的闭环系统，考虑Gain_AVR = 100，无滞后，PSS作业六中的得到：

$$\begin{aligned} G_c(s) &= 1.0278 \frac{2.7964s + 1}{0.05593s + 1} \cdot \frac{8.3333s + 1}{416.665s + 1} \\ G'_{2\omega}(s) &= 1.0278 \frac{2.7964s + 1}{0.05593s + 1} \cdot \frac{8.3333s + 1}{416.665s + 1} \cdot \frac{-3.089 s}{s^3 + 8.124 s^2 + 0.3389 s + 1.036} \\ &= \frac{-73.98 s^3 - 35.33 s^2 - 3.174 s}{23.3 s^5 + 606 s^4 + 3394 s^3 + 173.5 s^2 + 431.9 s + 1.036} \\ &= \frac{-3.1745 s (s + 0.3576)(s + 0.12)}{(s + 17.88)(s + 8.098)(s + 0.0024)(s^2 + 0.02606s + 0.1279)} \end{aligned}$$

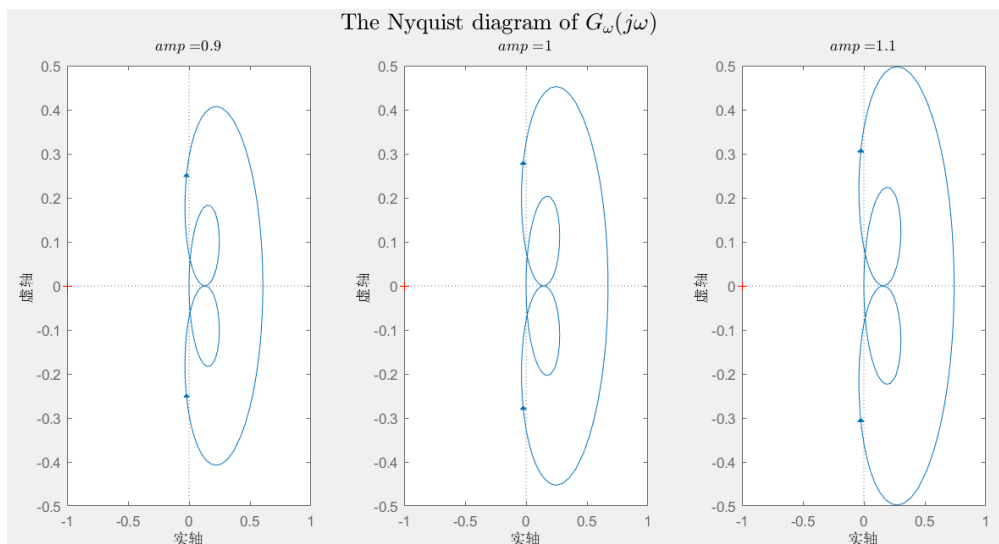
实际中，系统的传递函数本身会与预期存在一定偏差，偏差的具体情况我们无从知晓，只能获取以下信息：

(1) 由于某个比例环节的不精确，导致开环系统的传递函数可能有不超过 $\pm 10\%$ 的波动；

$$0.9G(j\omega) \sim 1.1G(j\omega)$$

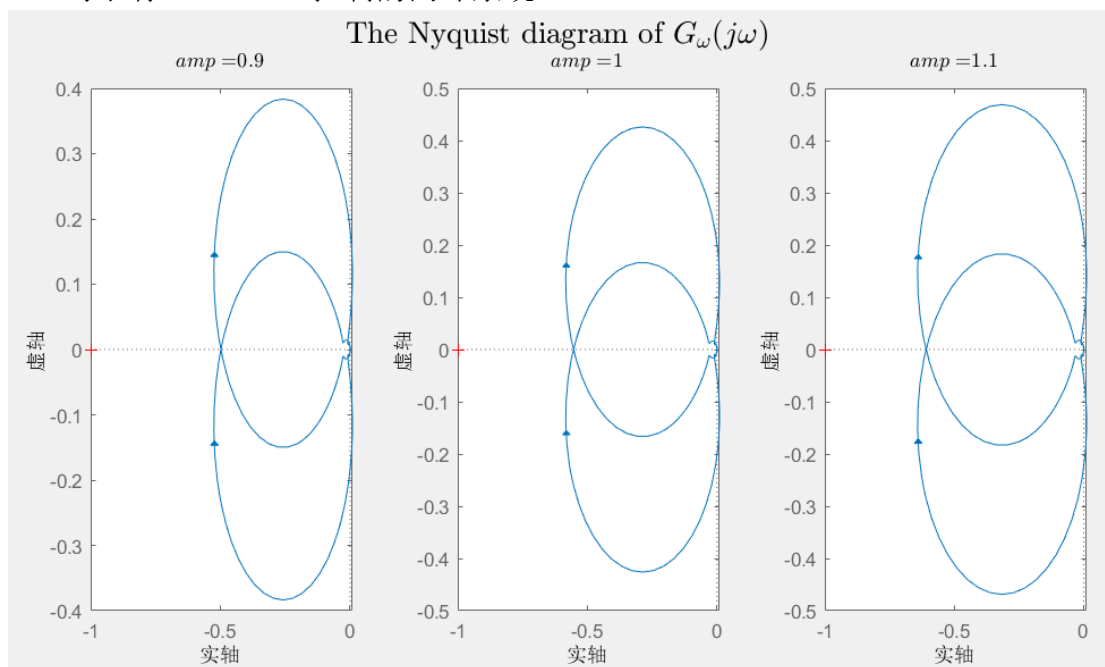
第一类扰动仅影响系统的幅频特性，而不影响系统的相频特性，因此可以考虑直接画出波动范围内系统的 Bode 图，直接判断其稳定性。

对于只有 AVR 控制的闭环系统：



可以发现，在 $\text{amp} = 0.9, 1, 1.1$ 时，Nyquist 图不包围 $(-1, j0)$ ，因此闭环系统均为稳定。

对于有 AVR+PSS 控制的闭环系统：



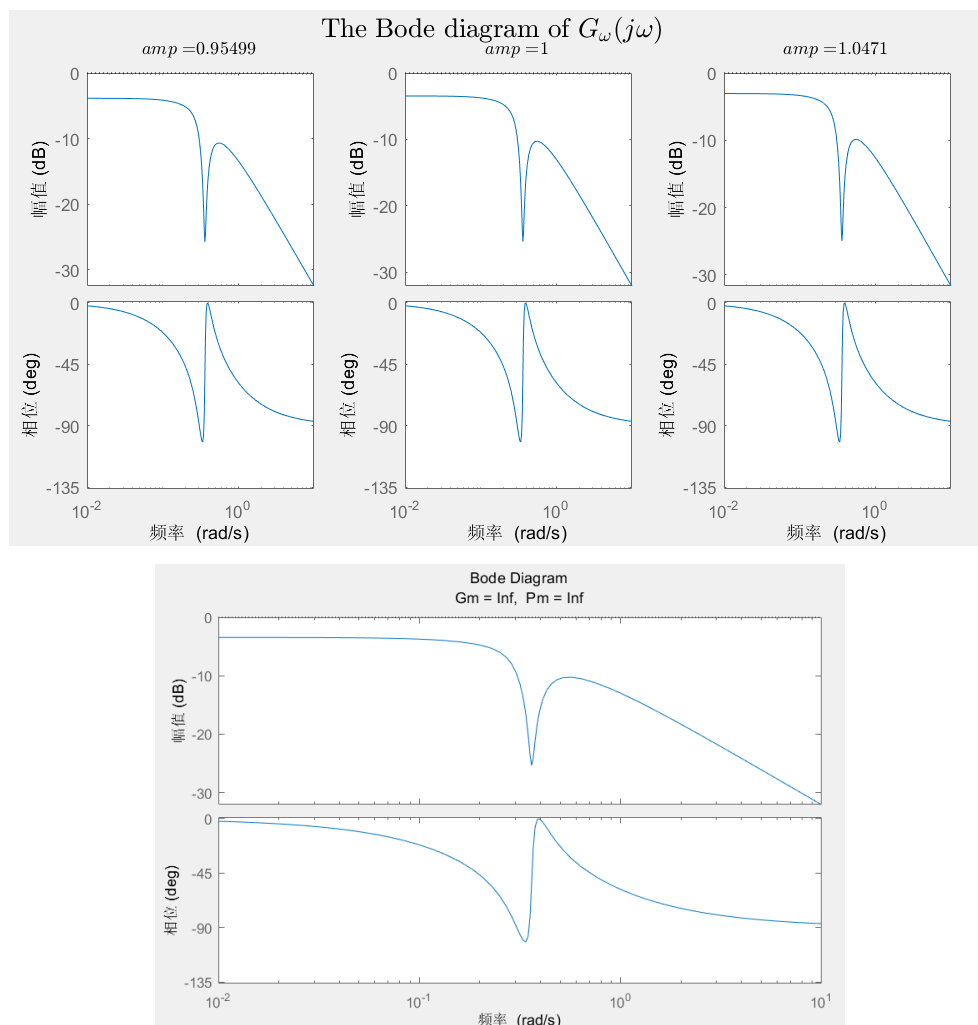
可以发现，在 $\text{amp} = 0.9, 1, 1.1$ 时，Nyquist 图不包围 $(-1, j0)$ ，因此闭环系统均为稳定。

(2) 由于一些不可预知的因素，导致开环系统的传递函数与我们的预期存在某种偏差，目前只能确定偏差的幅频特性的不超过 0.4

$$G(j\omega) + \Delta(j\omega), |\Delta(j\omega)| \leq 0.4$$

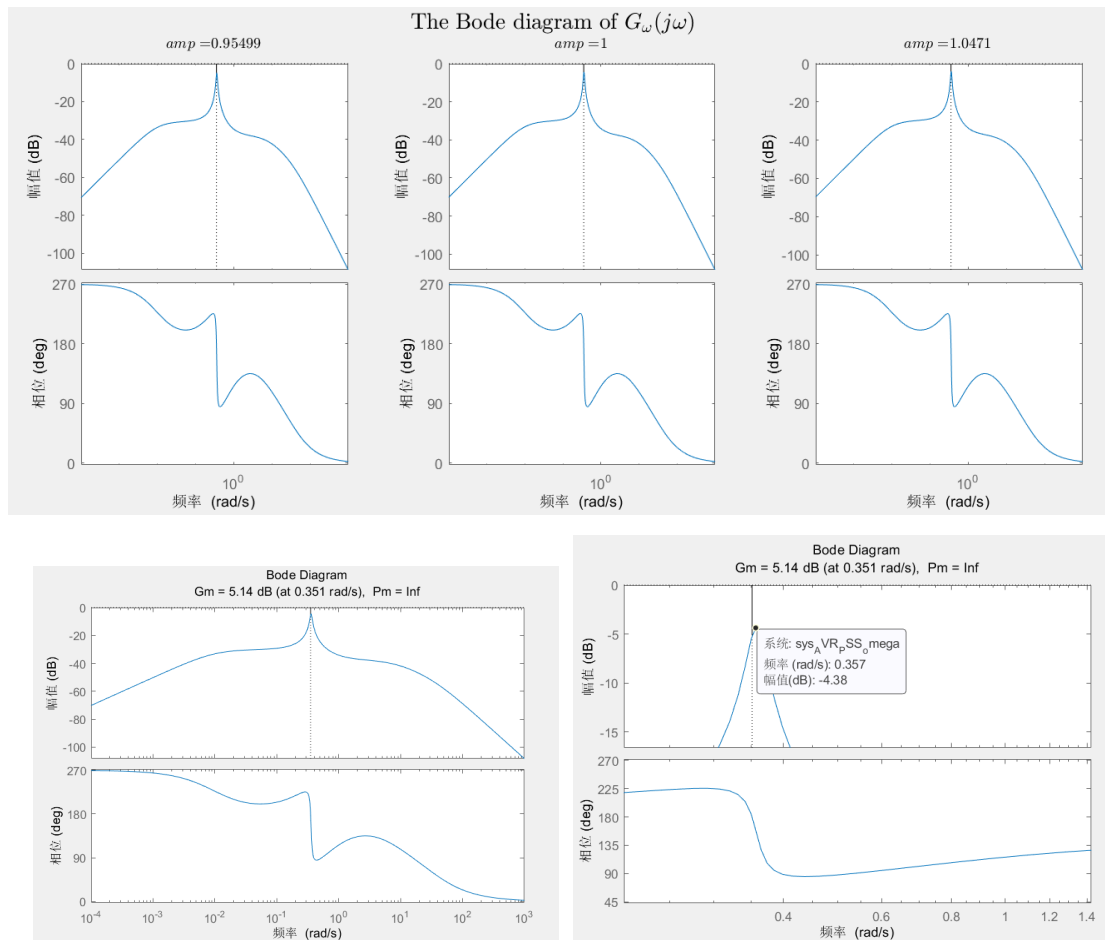
第二类扰动既会影响系统的幅频特性，也会影响系统的相频特性，而系统相频特性的影响则无法预料，因此只能通过 Bode 图看幅频特性，如果幅频特性曲线全部在 0dB 线以下，则 $\phi(\omega)$ 穿越 -180° 线时，总有 $L(\omega_g) < 0$ ，闭环系统稳定。

对于只有 AVR 控制的闭环系统：幅频特性大小不超过 0.4，则 AVR 增益最大为 $3.3 \times 10^{\frac{0.4}{20}} = 3.456$ 。绘制相应的 Bode 图如下：



当 $\text{amp}=1$ 时，即原系统幅值没有波动，此时幅频特性最大值为 -3.45dB，幅频特性波动 $\pm 0.4\text{dB}$ ，可以保证幅频特性最大值小于 0，因此可以保证系统的稳定。

对于有 AVR+PSS 控制的闭环系统：



当 $\text{amp}=1$ 时，即原系统幅值没有波动，此时幅频特性最大值约为 -4.38dB ，幅频特性波动 $\pm 0.4\text{dB}$ ，可以保证幅频特性最大值小于 0 ，因此可以保证系统的稳定。

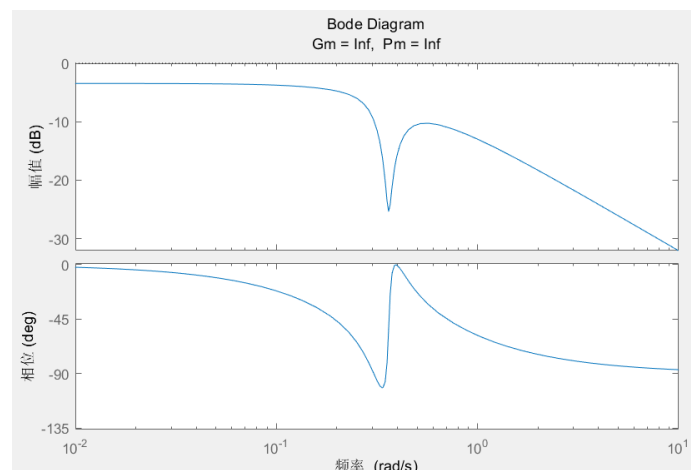
(3) 由于一些不可预知的因素，导致开环系统的传递函数与我们的预期存在某种偏差，目前只能确定偏差的幅频特性的值不超过原系统的 20%

$$G(j\omega) + \Delta(j\omega), |\Delta(j\omega)| \leq 0.2|G(j\omega)|$$

第三类扰动和第二类扰动类似，既会影响系统的幅频特性，也会影响系统的相频特性，而系统相频特性的影响则无法预料，因此只能通过 Bode 图看幅频特性，如果幅频特性曲线全部在 0dB 线以下，则 $\phi(\omega)$ 穿越 -180° 线时，总有 $L(\omega_g) < 0$ ，闭环系统稳定。

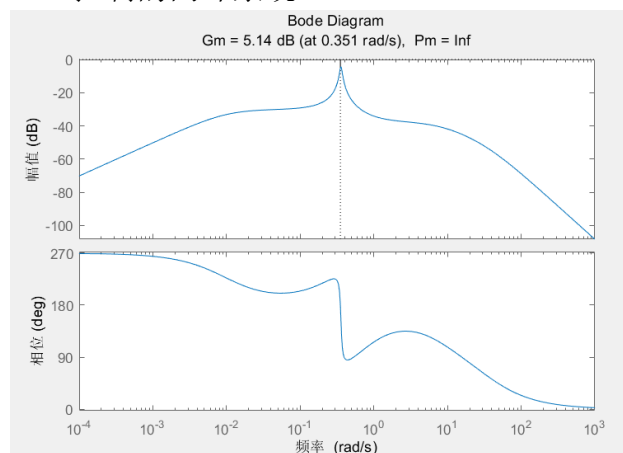
而幅值特性的变化范围是原系统的 $0.8 \sim 1.2$ 倍。

对于只有 AVR 控制的闭环系统，绘制相应的 Bode 图如下：



和第二类扰动类似，此时幅频特性最大值为-3.45dB，在 0.8~1.2 的范围内波动可以保证幅频特性最大值小于 0，因此可以保证系统的稳定。

对于有 AVR+PSS 控制的闭环系统：



和第二类扰动类似，此时幅频特性最大值约为-4.38dB（0.6039），在幅值 0.8~1.2 的范围内波动可以保证幅频特性最大值小于 0dB，因此可以保证系统的稳定。

d. 总结

体会一阶惯性环节和纯延时环节在滞后效应刻画上的异同，总结纯延时环节的一般分析方法；

一阶惯性环节是纯延时环节的一阶泰勒展开式。

$$G(s) = e^{-\tau_0 s} \approx \frac{1}{\tau_0 s + 1}$$

惯性环节从输入开始时刻就已有输出，仅由于惯性，输出要滞后一段时间才接近所要求的输出值；而纯延迟环节从输入开始后在前 τ_0 时间内没有输出，但 τ_0 之后，输出完全等于输入。

但在近似简化的线性模型中，当延迟时间 τ 足够小时，可以直接用一阶惯性环节代替纯延时环节实现延时的效果。

分析体会根轨迹法和 Nyquist 图的优缺点和适用范围；

根轨迹法的 `rlocus` 命令不能用于具有延迟的连续时间模型，需先对传递函数使用 `pade` 命令逼近延迟；而 `nyquist` 图则可以直接画出带有延迟的连续时间模型图。

编程时间：约 7 小时。

撰写报告时间：4 小时。

总结与反馈：😊